

ساخت نانوذرات Pd/MoO_{3-x} با ترکیب روش کندوسوز لیزری مولیبدن در محیط مایع و احیای خودبخودی پالادیم

مهندی رنجبر، نوید متقی، پرویز کاملی و هادی سلامتی

دانشکده فیزیک، دانشگاه صنعتی اصفهان

مریم خشوعی

حسین فخرپور و محمود تبریزچی

دانشکده شیمی، دانشگاه صنعتی اصفهان موسسه بیوشیمی ماکس پلانک، دانشکده بیولوژی ساختارهای ملکولی، آلمان

محمد رضا جلیلیان نصرتی

دانشکده فیزیک، دانشگاه آزاد اسلامی، واحد تهران مرکز

(دریافت مقاله: ۹۲/۰۴/۳۰ - پذیرش مقاله: ۹۲/۰۹/۱۷)

چکیده

در این مقاله استفاده متوالی از دو روش کندوسوز لیزری و احیای خودبخودی به عنوان یک روش ترکیبی موفق برای تولید نانوذرات دوتایی $Pd-MoO_{3-x}$ گزارش می‌شود. در ابتدا نانوذرات اکسید مولیبدن به روش کندوسوز لیزری در محیط مایع، شامل H_2O یا H_2O_2 با استفاده از لیزرهای پالسی اگزایمر (KrF , $\lambda=248\text{ nm}$) و یا حالت جامد ($Nd:YAG$, $\lambda=1064\text{ nm}$) ساخته شدن. سپس محلول $PdCl_2$ با غلاظت‌های مختلف به نانوذرات کلوویدی افزوده شد تا نانوذرات پالادیم فلزی به روش احیای خودبخودی بر سطح نانوذرات اولیه رشد کرده و تشکیل شوند. تاثیر طول موج لیزر، غلاظت پالادیم و محیط مایع بر خواص نانوذرات تولید شده با استفاده از تکنیک‌هایی همچون تصویربرداری میکروسکوپ الکترونی عبوری (TEM)، اسپکتروفوتومتری UV-Vis و میکروسکوپ نیروی اتمی (AFM) مورد مطالعه قرار گرفت. واژه‌های کلیدی: کندوسوز لیزری، احیای خودبخودی، نانوذرات Pd/MoO_{3-x} ، هسته-پوسته، TEM.

Pd-MoO_{3-x} nanoparticles by combining the methods of pulsed laser ablation in liquid and saponaceous reduction of PdCl₂

M. Ranjbar, N. Mottaghi, P. Kameli, H. Salamati

Department of Physics, Isfahan University of Technology

H. Farrrokhpour and M. Tabrizchi

Department of Chemistry, Isfahan University of Technology

M. Khoshouei

Max Planck Institute of Biochemistry, Department of Molecular Structural Biology, Am Klopferspitz

M. Jalilian Nosrati

Department of Physics, Islamic Azad University Central Tehran Branch

(Received 21 July 2013, accepted 8 December 2013)

Abstract

In this paper successive method involving laser ablation followed by autocatalytic reduction has been developed for fabrication of $Pd-MoO_{3-x}$. First molybdenum oxide nanoparticles were prepared by laser ablation in H_2O or H_2O_2 liquid using excimer (KrF , $\lambda=248\text{ nm}$) or solid state ($Nd:YAG$, $\lambda=1064\text{ nm}$) lasers. Then $PdCl_2$ solution with different concentrations were added to the colloidal solution with the hope palladium nanoparticles are deposited upon the initial nanoparticles. The effect of laser wavelength on palladium solution and ablation environment were studied by means of Transmission Electron Microscopy (TEM), UV-Vis spectrophotometry and Atomic Force Microscopy (AFM).

Key words: *Laser ablation, Autocatalytic reduction, Pd/MoO_{3-x} nanoparticles, Core-shell, TEM.*

mail of corresponding author: ranjbar@cc.iut.ac.ir

اخیراً نانو ذرات کلوییدی (نانو ذرات معلق در محیط مایع) به عنوان موادی مناسب در افزایش جذب انرژی خورشیدی از طریق جذب مستقیم انرژی پیشنهاد شده‌اند [۲۱]. بر این اساس، شبیه به سیستم‌های دوبعدی (لایه‌ها و پوشش‌های نازک گازوکرومیک) مزایای بیشتر برای کاربردهای خورشیدی به ارمغان خواهند آورد زیرا در این رویکرد کنترل پیکربندی نانوذرات و بهینه‌سازی جذب نور امکان‌پذیر است. در پژوهش‌های قبلی، ما سیستم نانوذرات کلوییدی Pd/WO_3 را ساخته و برای اولین بار محلول کلوییدی با خاصیت گازوکرومیک را معرفی کرده‌ایم [۱۸]. از آنجا که اکسید مولیبدن نیز دارای خاصیت گازوکرومیک است [۲۲] بر آن شدیدم تا ویژگی‌های گازوکرومیک محلول کلوییدی Pd/MoO_{3-x} را نیز بررسی کنیم. در بخش اول این پژوهش که نتایج آن در این مقاله ارایه شده است صرفاً سعی شده که فرایند ساخت و مشخصه‌یابی این محلول کلوییدی گزارش شود که در آن نانوذرات پالادیم-اکسید مولیبدن به یک روش متوالی ترکیبی ساخته شده‌اند. مراحل ساخت ابتدا شامل تولید نانوذرات اکسید مولیبدن در محیط مایع به روش کندوسوز لیزری می‌باشد. در مرحله دوم محلول کلرید پالادیم به عنوان دارنده یون‌های پالادیم به محلول کلوییدی قبلی اضافه شده با این امید که ساختارهای هسته-پوسته یا ترکیبی Pd/MoO_{3-x} از احیای پالادیم بر سطح نانوذرات اکسید مولیبدن به دست آید. خصوصیات نمونه‌های آماده شده با کمک TEM، اسپکتروفوتومتری UV-Vis و AFM به خوبی مورد بررسی قرار گرفته‌اند.

مواد و روش تحقیق

به منظور ساخت نانو ذرات اکسید مولیبدن و بررسی تأثیر $PdCl_2$ بر آن از روش ساخت متوالی آستفاده شد. ابتدا نانوذرات MoO_{3-x} به روش کندوسوز لیزری در محیط مایع ساخته و سپس محلول نمکی 0.2 gr/l $PdCl_2$ با غلاظت‌های مختلف به آن افزوده شد. شکل ۱ چیدمان

مقدمه

آشکارسازی گازها با درجه حساسیت بالا اهمیت زیادی از نقطه نظر خطرات بهداشتی مربوط به گازهای سمی تولید شده در صنعت و آلاینده‌های خروجی خودروها دارند. بنابراین، لازمه سنسورهای گاز این است که بی‌چون و چرا بتوانند گازهای سمی را آشکار کنند. برای رفع این نیاز سیستم‌هایی لازم است که بتوانند مقادیر بسیار ناچیز گازهای سمی را تشخیص دهند [۱].

یک روش، استفاده از فن‌آوری مواد پیشرفته است. حساسیت سیستم‌های آشکارساز حالت جامد به طور مستقیم با نسبت سطح به حجم ماده فعال در معرض گاز متناسب است. از این‌رو، نانو ذراتی که به عنوان سنسور گازی استفاده شوند حداکثر نسبت سطح به حجم را ایجاد کرده و بیشترین پاسخ را از خود نشان خواهند داد [۴-۲].

امروزه لایه‌ها و پوشش‌های نازک موادی همچون اکسید تنگستن و اکسید مولیبدن به دلیل خواص کاتالیزوری و حسگری خود در مقابل بسیاری از انواع گازها کاربرد زیادی در علم و فن‌آوری پیدا کرده‌اند. همچنین به دلیل خاصیت الکتروکرومیک^۱ و گازوکرومیک^۲ برای کاربرد در ادوات مرتبط با انرژی خورشیدی مورد توجه قرار گرفته‌اند [۵-۲۰]. در پیداهه گازوگرمیک، که عمدتاً در اکسید تنگستن مشاهده شده است یک لایه نازک پالادیم یا پلاتین روی سطح آن لایه‌نشانی می‌شود و هنگامی که این سیستم در معرض گاز هیدروژن قرار گیرد حالت اپتیکی اکسید تنگستن از بی‌رنگی (شفاف) به آبی تیره (جادب اپتیکی) تغییر می‌کند. این فرآیند برگشت پذیر بوده و زمانی که گاز حاوی H_2 با گاز حاوی O_2 جایگزین گردد حالت رنگی به طور برگشت‌پذیر به حالت شفاف تبدیل می‌شود.

¹Electrochromic

²Gasochromic

³Successive method

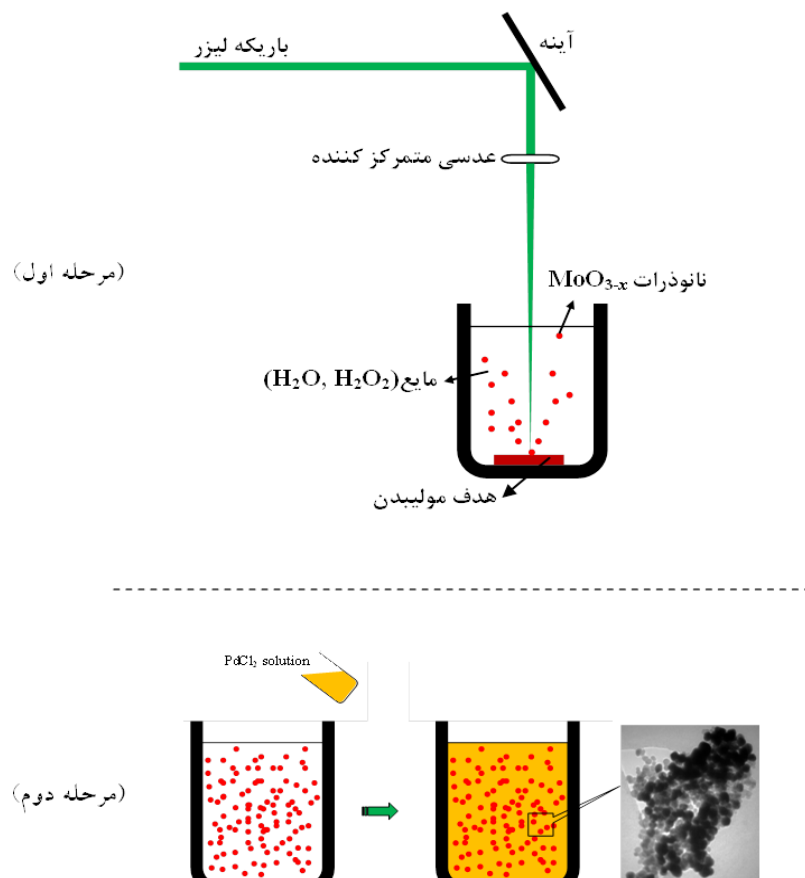
طیف‌های عبور اپتیکی نیز توسط دستگاه اسپکتروفوتومتر UV-Vis مدل Perkin Elmer Lambda 25 تهیه شده‌اند. اندازه‌ی گاف اپتیکی آن‌ها مطابق رابطه (۱) محاسبه شده است.

$$Ahv = \alpha(hv - E_g)^{\eta} \quad (1)$$

در معادله بالا α ضریب جذب اپتیکی، A ضریب ثابت، hv انرژی فoton فروپردازی، E_g اندازه گاف اپتیکی و η به نوع گذار (مستقیم یا غیرمستقیم) بستگی دارد. برای نمونه‌های ساخته شده $\eta = 0.5$ برآش مناسبی را می‌دهد. با استفاده از مقدار η گاف اپتیکی قابل محاسبه می‌باشد [۱۱]. شکل ۶ تصاویر گاف اپتیکی قابل محاسبه می‌باشد [۱۱].

بر روی بستر سیلیکونی توسط دستگاه میکروسکوپ نیروی اتمی ساخت شرکت Bruker آلمان تهیه شده‌اند..

فرآیند کندوسوز لیزری و افزودن $PdCl_2$ را نشان می‌دهد. بازیکه لیزر توسط آینه به یک عدسی هدایت شده و سپس روی هدف واقع در محیط مایع متمنکز می‌شود. در این مقاله دو طول موج مختلف شامل $\lambda = 248 nm$ (excimer laser, KrF) و $\lambda = 1064 nm$ (Nd:YAG) با Energy/pulse = 300 mJ و $\lambda = 148 nm$ (Philips Nd:YAG) با Energy/pulse = 148 mJ ایجاد شده توسط لیزر اگزایمر شده است. این نمونه‌ها به ترتیب به صورت کلی استفاده شده‌اند. این نمونه‌ها در حالت بدون افزودن $PdCl_2$ و S_{Pd248} و S_{1064} در حضور $PdCl_2$ نامگذاری شدند. تصاویر S_{Pd1064} توسط دستگاههای TEM Tecnai F20 200 kV و Philips گرفته شد.

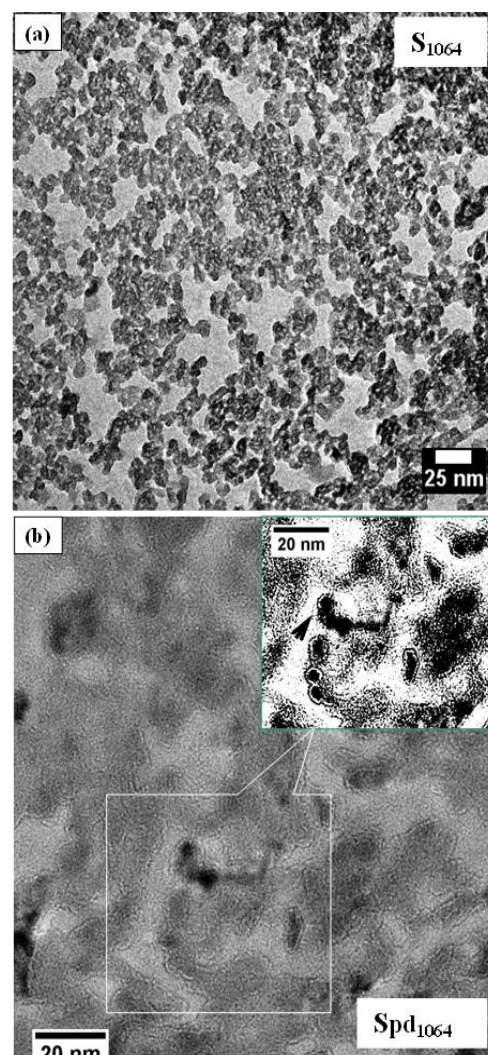


شکل ۱. شماتیک چیدمان فرآیند کندوسوز لیزری و افزودن محلول $PdCl_2$

دوتایی^۱ تغییر داده شده است. این نانو ذرات در برخی موارد با هسته‌ای با رنگ تیره‌تر نیز مشاهده می‌شوند که می‌تواند به ترکیب فلزی هسته و اکسید-فلزی پوسته مربوط باشد. در هر دو تصویر نانوذرات شش گوشه قابل مشاهده هستند که به تشکیل MoO_3-x نسبت داده می‌شوند. پس از افزودن فاز دوم یک پوسته با خامت حدود ۱ nm دور آن‌ها تشکیل شده است. قبلًا نیز در تشخیص بهتر ساختارهای هسته-پوسته، کتراست تصویر توسط نرم افزار Imagej افزایش یافته و به حالت دوتایی تغییر داده شده است. این نانو ذرات در برخی موارد با هسته‌ای با رنگ تیره‌تر مشاهده می‌شوند که می‌تواند به ترکیب فلزی هسته و اکسید-فلزی پوسته مربوط باشد که در پژوهشی ساختار Pd/WO_3 نیز مشاهده شده است [۱۸]. بنابراین آن را به تشکیل یک لایه فلزی پالادیم نسبت می‌دهیم. در شکل (۳) تصویر TEM نمونه SPd248 نشان داده شده است. در این شکل می‌توان دو نوع ذره مختلف را مشاهده کرد. بخش اول نانوذرات شش گوشه‌ای هستند که دارای لبه‌های کاملاً صاف بوده که در تصویر خاکستری نیز دیده می‌شوند. ابعاد آنها کمتر از ۱۵ nm است. بخش دوم نانوذراتی با ابعاد بیش از ۳۰ nm بوده که در تصویر با رنگی تیره نمایان‌اند. نانوذرات نوع اول را به اکسید مولیبدن نسبت می‌دهیم زیرا با شکل (۲-a) مطابقت دارند. اما بخش دوم را به نانوذرات $X-Pd/MoO_3$ هسته-پوسته‌ای نسبت می‌دهیم. اگر چه ساختار هسته-پوسته در آن کاملاً واضح نیست، اما چنانچه کتراست در محل یکی از این ذرات را تغییر دهیم می‌توانیم ذره شش گوشه‌ای را پیدا کنیم که دارای وجوده کاملاً صافی بوده و روی سطح آن‌ها را ماده دیگری پر کرده است (سمت راست تصویر ملاحظه شود).

نتایج و بحث آنالیز TEM

در شکل ۲ (a) و (b) به ترتیب تصاویر TEM نمونه‌های نوعی S1064 و SPd1064 نشان داده شده‌اند. در قسمت a نانوذراتی با ابعاد کمتر از ۱۰ nm مشاهده می‌شوند که توزیع اندازه نسبتاً یکنواختی دارند. پس از افزودن $PdCl_2$ نانوذرات هسته-پوسته تشکیل می‌شوند که در قسمت (b) می‌توان آن‌ها را مشاهده کرد.

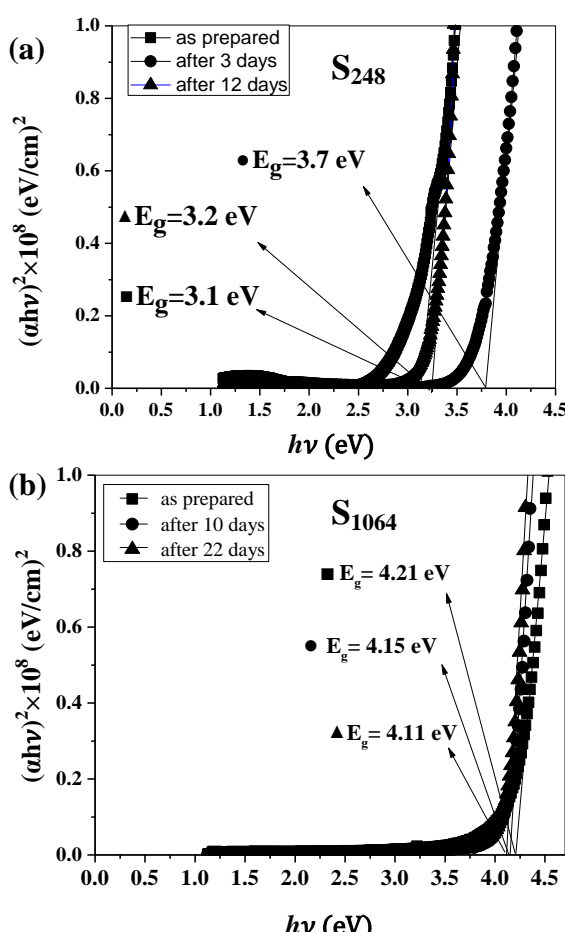


شکل ۲. تصاویر TEM نمونه‌های نوعی S1064 و SPd1064.

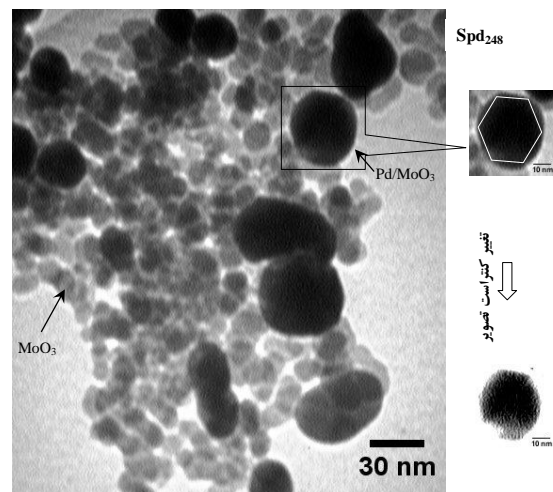
برای تشخیص بهتر ساختار هسته-پوسته‌ای کتراست تصویر توسط نرم افزار Imagej افزایش و به حالت

¹Binary

افزایش یافته و گاف اپتیکی نیز به همان شیوه افزایش - یابد. شکل (۴-a) نشان می‌دهد که با گذشت زمان به طور کلی گاف انرژی افزایش می‌یابد که بیان فوق را تصدیق می‌کند. با این حال در نمونه‌های S1064 شکل (۴-b) در مقایسه با نمونه‌های S248 اولاً مشاهده می‌شود که گاف اپتیکی بیشتر است و ثانیاً با گذشت زمان تغییر بسیار اندکی در اندازه آنها ایجاد می‌شود. این تغییر که کاهش بسیار اندکی است می‌تواند ناشی از افزایش اندازه ذرات باشد (رابطه ۲ را ببینید). در مقابل، افزایش ناشی از اکسیداسیون که به دلیل کوچک بودن اندازه‌ی اولیه ذرات و در نتیجه فعال‌تر بودن شیمی سطح آنها که در همان لحظات اولیه رشد اتفاق افتاده و سپس به پایان رسیده است بسیار کمتر خواهد بود.



شکل ۴. نمودار $(\alpha h\nu)^2$ بر حسب انرژی فوتون برای نمونه‌های سری S248.



شکل ۳. تصویر TEM نمونه S248

همچنین مقایسه شکل (۳ و ۲) نشان می‌دهد اندازه ذرات ایجاد شده با طول موج $\lambda=1064 \text{ nm}$ کمتر از طول موج $\lambda=248 \text{ nm}$ است. به طور کلی از تصاویر TEM می‌توان نتیجه گرفت که یون‌های پالادیم (Pd^{2+}) در مجاورت نانوذرات اکسید مولیبدن به پالادیم فلزی تبدیل شده و طبق قاعده واکنش‌های اکسیداسیون-احیا، فاز دیگری یعنی همان مولیبدن، باید اکسید شده باشد. بعداً خواهیم دید که این اثر در تغییر گاف اپتیکی و همچنین مورفولوژی به دست آمده از AFM نیز مشاهده می‌شود.

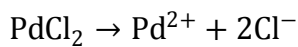
خواص اپتیکی $\text{Pd/MoO}_3\text{-x}$ و $\text{MoO}_3\text{-x}$

نمودار $(\alpha h\nu)^2$ بر حسب انرژی فوتون برای نمونه‌های سری S248 در شکل (۴-a) نشان داده شده است. در این شکل تأثیر زمان ماندگاری بر اندازه‌ی گاف اپتیکی نیز قابل بررسی است. مشاهده می‌شود که اولاً اندازه‌ی گاف اپتیکی بین 1 eV^2 تا 3 eV^2 قرار دارد که با داده‌های گاف اپتیکی اکسید مولیبدن در منابع دیگر نیز در توافق است [۲۳]. وجود لبه‌ی جذب در نمودار گاف اپتیکی نشان می‌دهد که در کندوسوز لیزری هدف فلز مولیبدن در محیط آب (H_2O) فاز اکسیدمولیبدن ($\text{MoO}_3\text{-x}$) تشکیل می‌شود. انتظار می‌رود با گذشت زمان و برهم‌کنش بیشتر نانو ذرات $\text{MoO}_3\text{-x}$ با آب، درجه اکسیداسیون آنها

ساخت نانوذرات PdCl₂-MoO_{3-x}، تأثیر غلظت

بر خواص اپتیکی و ریختشناصی

همانطور که گفته شد، به منظور ساخت نانوذرات هسته-پوسته Pd-MoO_{3-x}، غلظت‌های مختلف محلول PdCl₂•2gr/lit را مطابق با جدول ۱ به نمونه‌های "بلافاصله پس از ساخت" MoO_{3-x}¹ اضافه کردیم با این امید که طی واکنش اکسیداسیون-احیای زیر پالادیم در مجاورت ذرات اکسید مولیبدن احیا شده، دانه‌بندی و رشد^۲ کند:



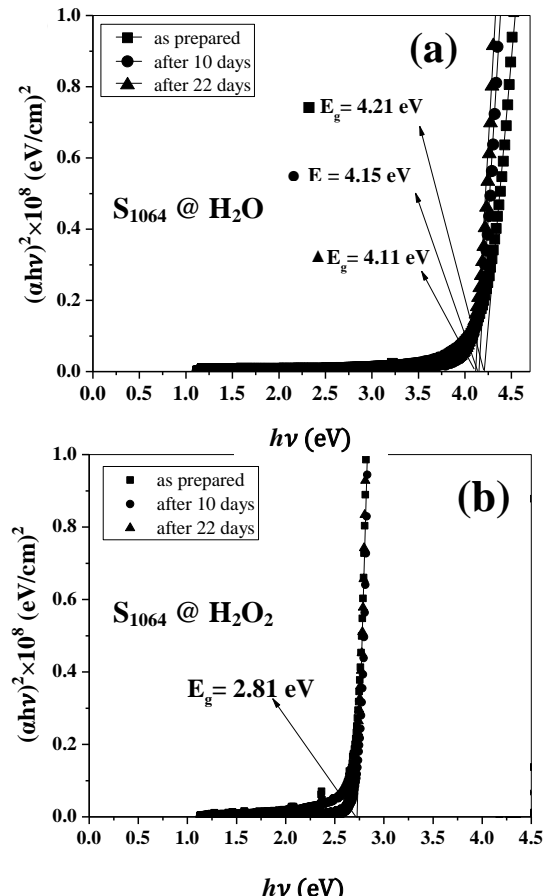
جدول ۱. مشخصات ساخت نانوذرات PdCl₂/MoO_{3-x}

Sample	λ (nm)	Medium	MoO _{3-x} volume (ml)	0.2 g/l PdCl ₂ volume (ml)
S ₂₄₈	248	H ₂ O	3	0
				0.1
				0.15
				0.2
				0.25
				0.3
S ₁₀₆₄	1064	H ₂ O	6	1
				2
				3
				4
				5
				1
S ₁₀₆₄	1064	H ₂ O ₂	6	2
				3
				4
				5

شکل (۶) تصاویر AFM نمونه‌های سری SPd248 با نسبت‌های PdCl₂/MoO_{3-x} مختلف که بر روی سیلیکون پخش و در دیسکاتور خشک شده‌اند را نشان می‌دهد. تصویر AFM نمونه بدون افزودن PdCl₂ به طور کلی متشكل از بستر نسبتاً یکنواختی است که از به هم پیوستن ذرات بسیار ریز به هم ایجاد شده است. افزودن

تأثیر محیط مایع بر خواص اپتیکی نانوذرات MoO_{3-x}

به منظور بررسی تأثیر محیط مایع بر گاف اپتیکی، دو محیط H₂O₂ و H₂O که هر دو اکسنده محسوب می‌شوند با هم مقایسه شدند. در این قسمت از مطالعه از طول موج ۱۰۶۴ nm استفاده شد. در شکل (۵) نمودار $\frac{1}{(\alpha h\nu)^2 \times 10^8 (\text{eV/cm})^2}$ بر حسب انرژی فوتون برای محیط H₂O₂ (مجدداً) و H₂O نشان داده شده است. در مورد محیط H₂O₂ آب در بخش قبل توضیح داده شد ولی محیط H₂O گاف اپتیکی حدود ۲.۸ eV ایجاد می‌کند که با گذشت زمان بدون تغییر باقی می‌ماند. علت کاهش گاف اپتیکی را می‌توان به تشکیل کمپلکس‌های مولیبدن با لیگاندهای پروکسو در برهمکنش آب اکسیژنه با هدف فلزی یا نانوذرات مولیبدن نسبت داد.



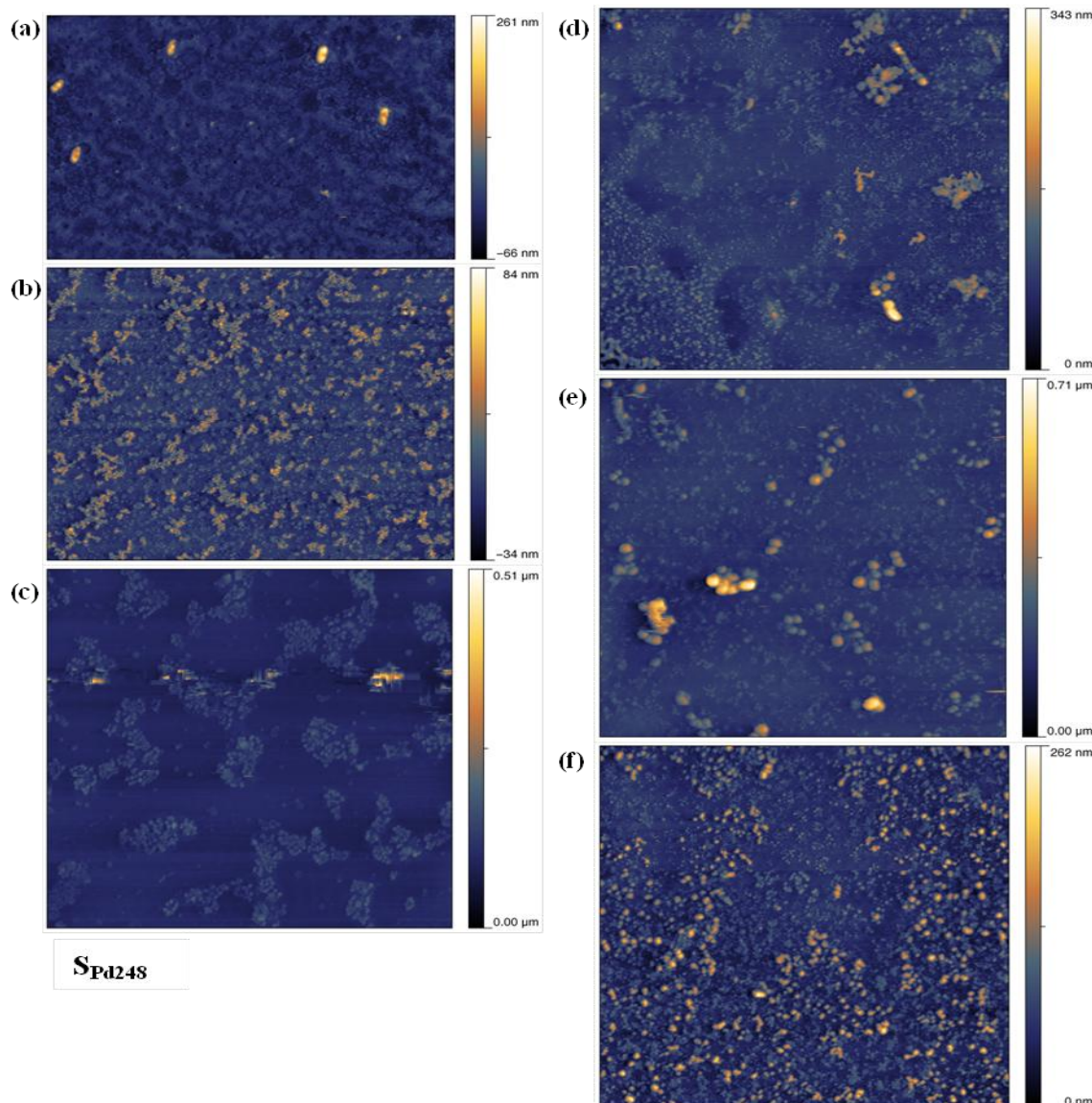
شکل ۵. اندازه ی گاف اپتیکی نانو ذرات اکسید مولیبدن ساخته شده H₂O₂ (b). H₂O(a)

¹As-prepared

²Nucleation and growth

ذرات ریز در درون محلول حرکت براونی داشته و پس از برخورد به ذرات ثابت دیگر می‌توانند متوقف شده و به دلیل حرکت کترهای نهایتاً ساختارهای فرکتالی تشکیل می‌دهند [۱۹]. می‌توان دید با افزایش حجم PdCl₂ تا ۱۵ cc ۰،۱۵ اندازه دانه‌های منفرد افزایش یافته و در عین حال اشکال فرکتالی دیده می‌شوند ولی تعداد انشعاب‌ها فرکتالی آن‌ها کمتر است.

PdCl₂ ۰ cc به ۶ cc محلول کلووییدی اولیه باعث تشکیل دانه‌های بزرگتری می‌شود که این ذرات درشت کلوخه‌های فرکتال مانند واضحی را تشکیل داده‌اند. تشکیل این نوع تجمعات فرکتالی پس از خشک شدن محلول‌های کلووییدی از پدیده‌ای به نام کلوخه شوندگی منحصر به پخش^۱ (DLA) ناشی می‌شود. در این پدیده



شکل ۶. تصاویر AFM نمونه‌های سری SPd248 با نسبت‌های PdCl₂/MoO₃-x

^۱Diffusion limited aggregation (DLA)

گاف اپتیکی به اندازه نانوذرات جستجو کرد. طبق رابطه ۲ بر اساس تقریب جرم موثر بین گاف اپتیکی نانو ذره و گاف اپتیکی توده‌ی همان ماده داریم [۲۴] :

$$E_g^{\text{Nano}} = E_g^{\text{Bulk}} + \frac{\pi^2 \hbar^2}{2R^2} \left(\frac{1}{m_e^*} + \frac{1}{m_h^*} \right) \quad (3)$$

که در این رابطه E_g^{Nano} و E_g^{Bulk} به ترتیب گاف اپتیکی نانوذره و توده هستند. همچنین h ثابت پلانک، m_e^* جرم موثر الکترون، m_h^* جرم موثر حفره و R شعاع ذره است. این رابطه نشان می‌دهد با افزایش اندازه ذره، گاف اپتیکی نانو ذره کاهش می‌یابد. شکل (۷) (a, b) این موضوع را نشان می‌دهند.

علاوه بر این با افزایش غلظت PdCl_2 گاف اپتیکی کاهش یافته و به مقدار مشخصی نزدیک می‌شود. کاهش گاف برای تمام زمان‌های ماندگاری با افزایش غلظت PdCl_2 می‌تواند دلیلی بر اکسید شدن بیشتر ذرات MoO_{3-x} باشد.

چنانچه از محیط H_2O_2 به جای H_2O استفاده کنیم گاف اپتیکی بر حسب غلظت PdCl_2 تقریباً بدون تغییر باقی می‌ماند شکل (۷)(c). این موضوع نشان از تأثیرگذاری محیط بر انجام واکنش‌های اکسیداسیون-احیا بین نانوذرات کندوسوز شده و PdCl_2 و افزایش پایداری بیشتر در محیط‌های اکسنده‌تر می‌شود. البته مجدداً پایداری می‌کنیم که در حضور H_2O_2 کمپلکس‌های مرکب از مولیبدن تشکیل می‌شود که ویژگی اپتیکی مخصوص به خودشان را دارند.

با افزایش غلظت بیشتر PdCl_2 اندازه‌ها باز هم بیشتر شده و ساختارهای فرکتالی دیگر دیده نمی‌شوند. می‌توان علت این موضوع را به این نسبت داد که با افزایش اندازه‌ی دانه‌ها تحرکت آن‌ها در حرکت بروانی کاهش یافته و تمایلی به تشکیل فرکتال ندارند. در مجموع

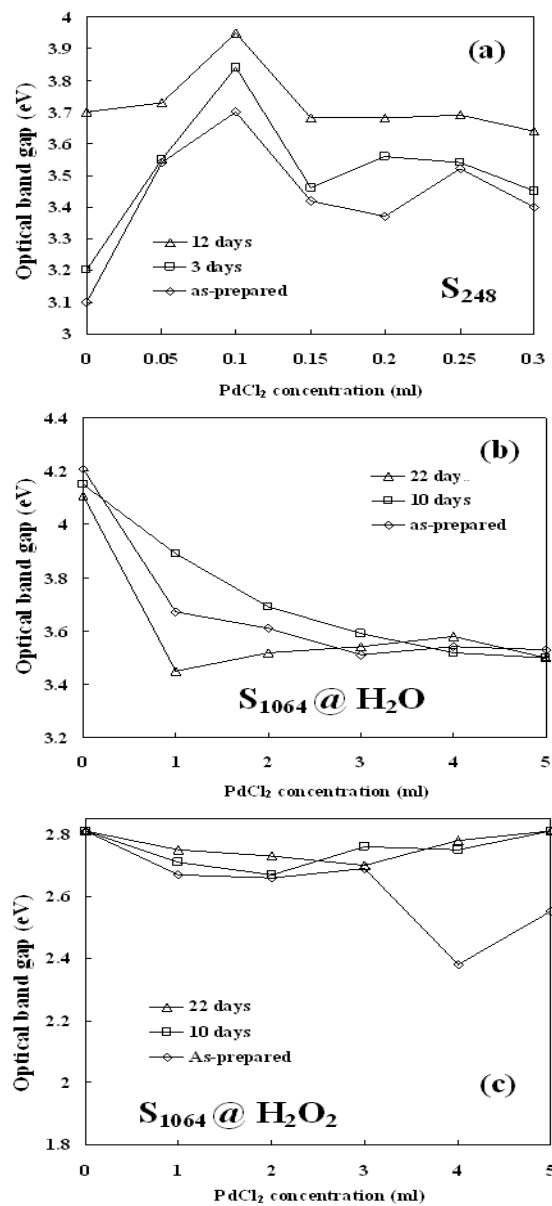
نتایج AFM نشان‌دهنده‌ی حضور دانه‌های بزرگتر (رشد بیشتر) در غلظت‌های بالاتر PdCl_2 هستند. بر همین اساس وجود دانه‌های اضافی را به تشکیل نانوذرات PdMoO_{3-x} در فرایند احیای یون‌های پالادیم توسط هسته‌های اولیه MoO_{3-x} نسبت می‌دهیم.

نمودار گاف اپتیکی بر حسب غلظت محلول PdCl_2 برای زمان‌های ماندگاری مختلف شامل: بلافصله پس از ساخت، ۳ و ۱۲ روز پس از ساخت در شکل (۷) نشان داده شده است. همان‌طور که ملاحظه می‌شود اولاً برای غلظت‌های یکسان با افزایش زمان ماندگاری گاف اپتیکی افزایش می‌یابد که آن را به افزایش اکسیداسیون در نمونه‌های سری S248 نسبت داده‌ایم. ثانیاً با افزایش غلظت PdCl_2 گاف اپتیکی نیز افزایش یافته و در ۰cc ۱۰٪ حداکثر مقدار را نشان می‌دهد. با افزایش بیشتر غلظت PdCl_2 می‌توان گفت که گاف اپتیکی تقریباً ثابت می‌ماند. در نمونه با ماندگاری ۱۲ روز، گاف در سراسر بازه‌ی غلظت نسبتاً ثابت است که می‌توان آن را به سهم واکنش قابل توجه بین PdCl_2 و MoO_{3-x} نسبت داد. زیرا با MoO_{3-x} گذشت زمان فعالیت شیمیایی سطح نانوذرات MoO_{3-x} کاهش و حتی پایان می‌یابد. نمونه‌های ساخته شده با لیزر Nd:YAG (S1064) نیز به لحاظ تأثیر غلظت PdCl_2 بر گاف اپتیکی و روند آن در طی زمان ماندگاری مورد بررسیقرار گرفته‌اند. نتایج برآراش گاف اپتیکی بر حسب غلظت در شکل (۷) (a) در مقایسه با قسمت (b) به طور کلی بیانگر این موضوع است که گاف اپتیکی نمونه‌های سری S248 کمتر از گاف نمونه‌های سری S1064 است. دلیل این تفاوت را می‌توان در واستگی

بستگی دارد که در طول موج ۲۴۸ nm، ذرات بزرگتر از طول موج ۱۰۶۴ nm هستند. به موازات آن گاف اپتیکی نانوذرات نه تنها به طول موج لیزر بلکه به زمان ماندگاری نیز بستگی دارد. بر اساس تصاویر AFM معلوم شد با افزایش غلظت PdCl₂ دانه‌های بزرگتری تشکیل می‌شوند که احیای خودبخودی و تشکیل ساختارهای دوتایی Pd-MoO_{3-x} را تایید می‌کند.

منابع

1. Comini E, Faglia G, Sberveglieri G, Cantalini C, Passacantando M, Santucci S, et al. "Carbon monoxide response of molybdenum oxide thin films deposited by different techniques". Sensors and Actuators, B: Chemical. 2000;68:168-74.
2. Zhang J, Liu J, Peng Q, Wang X, Li Y. "Nearly monodisperse Cu₂O and CuOnanospheres: Preparation and applications for sensitive gas sensors". Chemistry of Materials. 2006;18:867-71.
3. Li WY, Xu LN, Chen J. "Co₃O₄ nanomaterials in lithium-ion batteries and gas sensors". Advanced Functional Materials. 2005;15:851-7.
4. Kolmakov A, Klenov DO, Lilach Y, Stemmer S, Moskovitst M. "Enhanced gas sensing by individual SnO₂ nanowires and nanobelts functionalized with Pd catalyst particles". Nano Letters. 2005;5:667-73.
5. Zhang J, Tu JP, Du GH, Dong ZM, Wu YS, Chang L, et al. "Ultra-thin WO₃ nanorod embedded polyaniline composite thin film: Synthesis and electrochromic characteristics". Solar Energy Materials and Solar Cells. 2013;114:31-7.
6. Zhang J, Tu JP, Cai GF, Du GH, Wang XL, Liu PC. "Enhanced electrochromic performance of highly ordered, macroporous WO₃ arrays electrodeposited using polystyrene colloidal crystals as template". Electrochimica Acta. 2013;99:1-8.
7. Wisitsoorat A, Ahmad MZ, Yaacob MH, Horpratum M, Phakaratkul D, Lomas T, et



شکل ۷. نمودار گاف اپتیکی بر حسب غلظت محلول PdCl₂ برای زمان های ماندگاری مختلف در سه محیط مایع کندوسوز مختلف با H₂O -(b) H₂O, ، (a)- 248 nm دو طول موج گوناگون: 1064 nm (c)- H₂O₂, 1064 nm

نتیجه گیری

در این مقاله نانوذرات کلوییدی Pd/MoO_{3-x} به روش متوالی شامل احیای خوبخودی محلول PdCl₂ در محیط کلوییدی MoO_{3-x} ساخته شده به روش کندوسوز لیزری ایجاد شده است. نتایج TEM نشان داد که نانوذرات هسته-پوسته می‌توانند به این روش تشکیل شوند. همچنین اندازه‌ی ذرات MoO_{3-x} به طول موج لیزر

- al. "Optical H₂ sensing properties of vertically aligned Pd/WO₃ nanorods thin films deposited via glancing angle rf magnetron sputtering. Sensors and Actuators", B: Chemical. 2013;182:795-801.
8. Vuong NM, Kim D, Kim H. "Electrochromic properties of porous WO₃-TiO₂ core-shell nanowires". Journal of Materials Chemistry C. 2013;1:3399-407.
9. Nagata S, Katsui H, Hoshi K, Tsuchiya B, Toh K, Zhao M, et al. "Recent research activities on functional ceramics for insulator, breeder and optical sensing systems in fusion reactors". Journal of Nuclear Materials. 2013.
10. Kostis I, Vasilopoulou M, Soultati A, Argitis P, Konofaos N, Douvas AM, et al. "Highly porous tungsten oxides for electrochromic applications. Microelectronic Engineering". 2013.
11. Karuppasamy A. "Electrochromism in surface modified crystalline WO₃ thin films grown by reactive DC magnetron sputtering". Applied Surface Science. 2013.
12. Bertus LM, Faure C, Danine A, Labrugere C, Campet G, Rougier A, et al. "Synthesis and characterization of WO₃ thin films by surfactant assisted spray pyrolysis for electrochromic applications". Materials Chemistry and Physics. 2013;140:49-59.
13. Alves RD, Rodrigues LC, Andrade JR, Fernandes M, Pinto JV, Pereira L, et al. "Gelatin-Zn(CF₃SO₃)₂ polymer electrolytes for electrochromic devices". Electroanalysis. 2013; 25: 1483-90.
14. TahmasebiGaravand N, Ranjbar M, Mahdavi SM, Irajizad A. "Colouration process of colloidal tungsten oxide nanoparticles in the presence of hydrogen gas". Applied Surface Science. 2012;258:10089-94.
15. Ranjbar M, Zad AI, Mahdavi SM. "Gasochromic tungsten oxide thin films for optical hydrogen sensors". Journal of Physics D: Applied Physics. 2008;41.
16. Ranjbar M, TahmasebiGaravand N, Mahdavi SM, Irajizad A. "Electroless plating of palladium on WO₃ films for gasochromic applications". Solar Energy Materials and Solar Cells. 2010;94:201-6.
17. Ranjbar M, Mahdavi SM, Irajizad A. "Pulsed laser deposition of W-V-O composite films: Preparation, characterization and gasochromic studies. Solar Energy" Materials and Solar Cells. 2008;92:878-83.
18. Ranjbar M, Kalhor H, Mahdavi SM, Zad AI. "New gasochromic system: Nanoparticles in liquid". Journal of Nanoparticle Research. 2012;14.
19. Ranjbar M, Fardindoost S, Mahdavi SM, Irajizad A, Tahmasebi G N. "Palladium nanoparticle deposition onto the WO₃ surface through hydrogen reduction of PdCl₂: Characterization and gasochromic properties". Solar Energy Materials and Solar Cells. 2011;95:2335-40.
20. Hemati A, Allaf B M, Ranjbar M, Kameli P, Salamat H. Gasochromic "tungsten oxide films with PdCl₂ solution as an aqueous Hydrogen catalyst". Solar Energy Materials and Solar Cells. 2013;108:105-12.
21. Prasher R, Bhattacharya P, Phelan PE. "Thermal Conductivity of Nanoscale Colloidal Solutions (Nanofluids)". Physical Review Letters. 2005; 94:025901.
22. Chang CC, Luo JY, Chen TK, Yeh KW, Huang TW, Hsu CH, et al. "Pulsed laser deposition of (MoO₃)_{1-x}(V₂O₅)_x thin films: Preparation, characterization and gasochromic studies". Thin Solid Films. 2010;519:1552-7.
23. Bouzidi A, Benramdane N, Tabet-Derraz H, Mathieu C, Khelifa B, Desfeux R. "Effect of substrate temperature on the structural and optical properties of MoO₃ thin films prepared by spray pyrolysis technique". Materials Science and Engineering: B. 2003;97:5-8.
24. Sattler KD. "Handbook of Nanophysics: Nanoparticles and Quantum Dots". Boca Raton: GRS press; 2011.